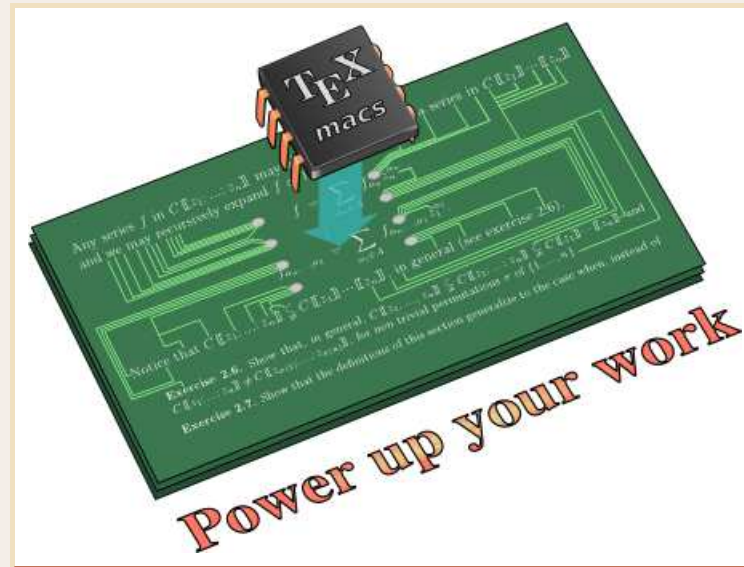


Calcul analytique II

Joris van der Hoeven

CNRS, École polytechnique



JNCF, Luminy, 2011

<http://www.TEXMACS.org>



Multiplication de deux entiers de p chiffres

- $l(p) = \mathcal{O}(p^2)$: multiplication naïve
- $l(p) = \mathcal{O}(p^{\log 3 / \log 2})$: multiplication de Karatsuba
- $l(p) = \mathcal{O}(p \log p \log \log p)$: multiplication de Schönhage-Strassen

Multiplication de deux polynômes à coefficients dans \mathbb{K} de degré n

- $M_{\mathbb{K}}(n) = \mathcal{O}_{\mathbb{K}}(n^2)$: multiplication naïve
- $M_{\mathbb{K}}(n) = \mathcal{O}_{\mathbb{K}}(n^{\log 3 / \log 2})$: multiplication de Karatsuba
- $M_{\mathbb{K}}(n) = \mathcal{O}_{\mathbb{K}}(n \log n \log \log n)$: multiplication de Schönhage-Strassen
- $M_{\mathbb{K}}(n) = \mathcal{O}_{\mathbb{K}}(n \log n)$ si \mathbb{K} admet suffisamment de racines 2^p -ièmes d'unité

Multiplication de deux polynômes de degré n avec des coefficients de p chiffres

- $IM(p, n) = \mathcal{O}(l(n p))$: Kronecker

Référence

von Zurgathen & Gerhard : Modern computer algebra



Multiplication de Karatsuba

$$\begin{aligned} & (P_{\text{O}} + P_{\text{I}} z) (Q_{\text{O}} + Q_{\text{I}} z) \\ = & P_{\text{O}} Q_{\text{O}} + ((P_{\text{O}} + P_{\text{I}}) (Q_{\text{O}} + Q_{\text{I}}) - P_{\text{O}} Q_{\text{O}} - P_{\text{I}} Q_{\text{I}}) z + P_{\text{I}} Q_{\text{I}} z^2 \end{aligned}$$

Multiplication FFT

$$\begin{aligned} \omega^n &= 1 \\ \text{FFT}_{\omega}(P) &= (P(1), P(\omega), \dots, P(\omega^{n-1})) \end{aligned}$$

$$\begin{aligned} \deg(PQ) &< n \\ PQ &= \text{FFT}_{\omega}^{-1}(\text{FFT}_{\omega}(P) \text{FFT}_{\omega}(Q)) \end{aligned}$$

Question ouverte : multiplication tronqué en temps $\lambda M_{\mathbb{K}}(n)$ avec $\lambda < 1$?



Division



Division avec reste pour $P, Q \in \mathbb{K}[z]$ avec $\deg P \leq 2n$ et $\deg Q \leq n$: $\mathcal{O}(M_{\mathbb{K}}(n))$

Inversion de $f \in \mathbb{K}[[z]]$ avec $f_0 \neq 0$ à l'ordre n

Itération de Newton :

$$g = \frac{1}{f} + \mathcal{O}(z^n)$$

$$\tilde{g} = g - (fg - 1)g$$

$$= g - \frac{fg - 1}{f} + \mathcal{O}(z^{2n})$$

$$\tilde{g} = \frac{1}{f} + \mathcal{O}(z^{2n})$$

Coût : $D_{\mathbb{K}}(n) = \mathcal{O}(M_{\mathbb{K}}(n)) + D_{\mathbb{K}}(n/2) \rightsquigarrow D_{\mathbb{K}}(n) = \mathcal{O}(M_{\mathbb{K}}(n))$

Racines de polynômes : Hensel

Newton pour équations fonctionnelles : Brent & Kung, Sedoglavic



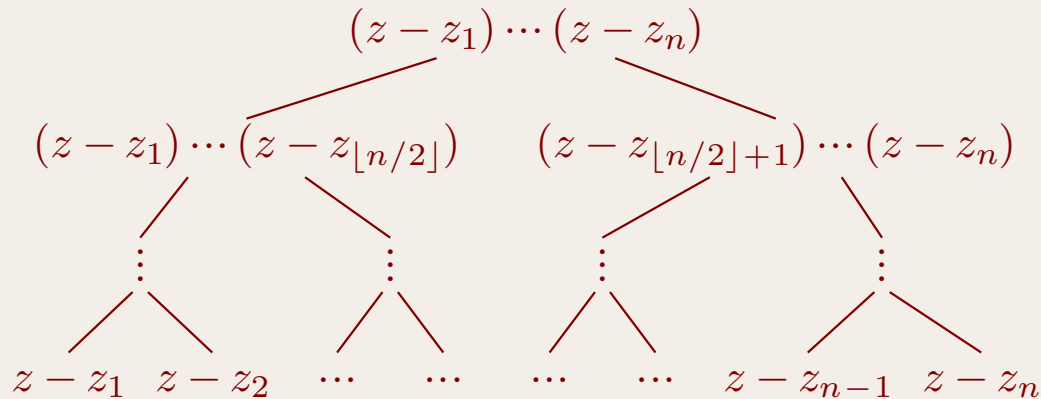
Évaluation multi-points



Entrée : $P \in \mathbb{K}[z]$ avec $\deg P < n$ et points $z_1, \dots, z_n \in \mathbb{K}$

Sortie : $P(z_1), \dots, P(z_n)$

Précalcul :



Algorithme :

- Si $n = 1$, retourner P_0
- Sinon, soient $Q = (z - z_1) \cdots (z - z_{\lfloor n/2 \rfloor})$ et $R = (z - z_{\lfloor n/2 \rfloor + 1}) \cdots (z - z_n)$
- Evaluer $P \bmod Q$ en $z_1, \dots, z_{\lfloor n/2 \rfloor}$ et $P \bmod R$ en $z_{\lfloor n/2 \rfloor + 1}, \dots, z_n$

Coût : $E_{\mathbb{K}}(n) = 2 E_{\mathbb{K}}(n/2) + \mathcal{O}(M_{\mathbb{K}}(n)) \rightsquigarrow E_{\mathbb{K}}(n) = \mathcal{O}(M_{\mathbb{K}}(n) \log n)$



Multiplication détendue de $f, g \in \mathbb{K}[[z]]$

Sortie de $(fg)_n$ dès que f_0, \dots, f_n et g_0, \dots, g_n

Permet la résolution d'équations récursives et implicites

Inverse g de $1 - f$ avec $f \in z \mathbb{K}[[z]]$

$$g = 1 + fg$$
$$g_n = \sum_{k=0}^{n-1} f_{n-k} g_k, \quad n > 0$$

Exponentielle g de f avec $f \in z \mathbb{K}[[z]]$

$$g = 1 + \int f' g$$
$$g_n = \frac{1}{n} \sum_{i=0}^{n-1} (n-i) f_{n-i} g_i, \quad n > 0$$



Exemple d'exponentiation



Example $f = z + z^2 + z^3 + \dots$

$$g_0 = 1$$

	↑							
	g_5							
	g_4							
	g_3							
	g_2							
	g_1							
	g_0							
		f'_0	f'_1	f'_2	f'_3	f'_4	f'_5	→
		1	2	3	4	5	6	

Multiplication tronquée naïve : $T_{\mathbb{K}}(n) \sim \frac{1}{2} M_{\mathbb{K}}(n)$

Multiplication détendue naïve : $R_{\mathbb{K}}(n) = T_{\mathbb{K}}(n)$



Exemple d'exponentiation



Exemple $f = z + z^2 + z^3 + \dots$

$$g_0 = 1$$

$$g_1 = 1$$

	↑							
	g_5							
	g_4							
	g_3							
	g_2							
	g_1							
1	g_0	1						
		f'_0	f'_1	f'_2	f'_3	f'_4	f'_5	→
		1	2	3	4	5	6	

Multiplication tronquée naïve : $T_{\mathbb{K}}(n) \sim \frac{1}{2} M_{\mathbb{K}}(n)$

Multiplication détendue naïve : $R_{\mathbb{K}}(n) = T_{\mathbb{K}}(n)$



Exemple d'exponentiation



Exemple $f = z + z^2 + z^3 + \dots$

$$g_0 = 1$$

$$g_1 = 1$$

$$g_2 = \frac{3}{2}$$

	↑							
	g_5							
	g_4							
	g_3							
	g_2							
1	g_1	1						
1	g_0	1	2					
		f'_0	f'_1	f'_2	f'_3	f'_4	f'_5	→
		1	2	3	4	5	6	

Multiplication tronquée naïve : $T_{\mathbb{K}}(n) \sim \frac{1}{2} M_{\mathbb{K}}(n)$

Multiplication détendue naïve : $R_{\mathbb{K}}(n) = T_{\mathbb{K}}(n)$



Exemple d'exponentiation



Exemple $f = z + z^2 + z^3 + \dots$

$$g_0 = 1$$

$$g_1 = 1$$

$$g_2 = \frac{3}{2}$$

$$g_3 = \frac{13}{6}$$

	↑							
	g_5							
	g_4							
	g_3							
$\frac{3}{2}$	g_2	$\frac{3}{2}$						
1	g_1	1	2					
1	g_0	1	2	3				
		f'_0	f'_1	f'_2	f'_3	f'_4	f'_5	→
		1	2	3	4	5	6	

Multiplication tronquée naïve : $T_{\mathbb{K}}(n) \sim \frac{1}{2} M_{\mathbb{K}}(n)$

Multiplication détendue naïve : $R_{\mathbb{K}}(n) = T_{\mathbb{K}}(n)$



Exemple d'exponentiation



Example $f = z + z^2 + z^3 + \dots$

$$g_0 = 1$$

$$g_1 = 1$$

$$g_2 = \frac{3}{2}$$

$$g_3 = \frac{13}{6}$$

$$g_4 = \frac{73}{24}$$

	↑							
	g_5							
	g_4							
$\frac{13}{6}$	g_3	$\frac{13}{6}$						
$\frac{3}{2}$	g_2	$\frac{3}{2}$	3					
1	g_1	1	2	3				
1	g_0	1	2	3	4			
		f'_0	f'_1	f'_2	f'_3	f'_4	f'_5	→
		1	2	3	4	5	6	

Multiplication tronquée naïve : $T_{\mathbb{K}}(n) \sim \frac{1}{2} M_{\mathbb{K}}(n)$

Multiplication détendue naïve : $R_{\mathbb{K}}(n) = T_{\mathbb{K}}(n)$



Exemple d'exponentiation



Example $f = z + z^2 + z^3 + \dots$

$$\begin{aligned}
 g_0 &= 1 \\
 g_1 &= 1 \\
 g_2 &= \frac{3}{2} \\
 g_3 &= \frac{13}{6} \\
 g_4 &= \frac{73}{24} \\
 g_5 &= \frac{167}{40}
 \end{aligned}$$

	↑							
	g_5							
$\frac{73}{24}$	g_4	$\frac{73}{24}$						
$\frac{13}{6}$	g_3	$\frac{13}{6}$	$\frac{13}{3}$					
$\frac{3}{2}$	g_2	$\frac{3}{2}$	3	$\frac{9}{2}$				
1	g_1	1	2	3	4			
1	g_0	1	2	3	4	5		
		f'_0	f'_1	f'_2	f'_3	f'_4	f'_5	→
		1	2	3	4	5	6	

Multiplication tronquée naïve : $T_{\mathbb{K}}(n) \sim \frac{1}{2} M_{\mathbb{K}}(n)$

Multiplication détendue naïve : $R_{\mathbb{K}}(n) = T_{\mathbb{K}}(n)$



Exemple d'exponentiation



Example $f = z + z^2 + z^3 + \dots$

$$g_0 = 1$$

$$g_1 = 1$$

$$g_2 = \frac{3}{2}$$

$$g_3 = \frac{13}{6}$$

$$g_4 = \frac{73}{24}$$

$$g_5 = \frac{167}{40}$$

$$g_6 = \frac{4051}{720}$$

	↑							
$\frac{167}{40}$	g_5	$\frac{167}{40}$						
$\frac{73}{24}$	g_4	$\frac{73}{24}$	$\frac{73}{12}$					
$\frac{13}{6}$	g_3	$\frac{13}{6}$	$\frac{13}{3}$	$\frac{13}{2}$				
$\frac{3}{2}$	g_2	$\frac{3}{2}$	3	$\frac{9}{2}$	6			
1	g_1	1	2	3	4	5		
1	g_0	1	2	3	4	5	6	
		f'_0	f'_1	f'_2	f'_3	f'_4	f'_5	→
		1	2	3	4	5	6	

Multiplication tronquée naïve : $T_{\mathbb{K}}(n) \sim \frac{1}{2} M_{\mathbb{K}}(n)$

Multiplication détendue naïve : $R_{\mathbb{K}}(n) = T_{\mathbb{K}}(n)$



Exemple d'exponentiation



Example $f = z + z^2 + z^3 + \dots$

$$\begin{aligned}
g_0 &= 1 \\
g_1 &= 1 \\
g_2 &= \frac{3}{2} \\
g_3 &= \frac{13}{6} \\
g_4 &= \frac{73}{24} \\
g_5 &= \frac{167}{40} \\
g_6 &= \frac{4051}{720}
\end{aligned}$$

	↑							
$\frac{167}{40}$	g_5	$\frac{167}{40}$						
$\frac{73}{24}$	g_4	$\frac{73}{24}$	$\frac{73}{12}$					
$\frac{13}{6}$	g_3	$\frac{13}{6}$	$\frac{13}{3}$	$\frac{13}{2}$				
$\frac{3}{2}$	g_2	$\frac{3}{2}$	3	$\frac{9}{2}$	6			
1	g_1	1	2	3	4	5		
1	g_0	1	2	3	4	5	6	
		f'_0	f'_1	f'_2	f'_3	f'_4	f'_5	→
		1	2	3	4	5	6	

Multiplication tronquée par Karatsuba pair/impair : $T_{\mathbb{K}}(n) \sim \frac{9}{16} M_{\mathbb{K}}(n)$

Multiplication détendue par Karatsuba pair/impair : $R_{\mathbb{K}}(n) = T_{\mathbb{K}}(n)$



Multiplication détendue rapide



Anticipation \rightsquigarrow acceleration

	↑								
	g_6								
	g_5								
	g_4								
	g_3								
	g_2								
	g_1								
1	g_0	1							
		f'_0	f'_1	f'_2	f'_3	f'_4	f'_5	f'_6	→
		1	2	3	4	5	6	7	



Multiplication détendue rapide



Anticipation \rightsquigarrow acceleration

	↑								
	g_6								
	g_5								
	g_4								
	g_3								
	g_2								
1	g_1	1							
1	g_0	1	2						
		f'_0	f'_1	f'_2	f'_3	f'_4	f'_5	f'_6	→
		1	2	3	4	5	6	7	



Multiplication détendue rapide



Anticipation \rightsquigarrow acceleration

	↑								
	g_6								
	g_5								
	g_4								
	g_3								
$\frac{3}{2}$	g_2	$\frac{3}{2}$	3	$\frac{9}{2}$					
1	g_1	1	2	3					
1	g_0	1	2	3					
		f'_0	f'_1	f'_2	f'_3	f'_4	f'_5	f'_6	→
		1	2	3	4	5	6	7	



Multiplication détendue rapide



Anticipation \rightsquigarrow acceleration

	↑								
	g_6								
	g_5								
	g_4								
$\frac{13}{6}$	g_3	$\frac{13}{6}$							
$\frac{3}{2}$	g_2	$\frac{3}{2}$	3	$\frac{9}{2}$					
1	g_1	1	2	3					
1	g_0	1	2	3	4				
		f'_0	f'_1	f'_2	f'_3	f'_4	f'_5	f'_6	→
		1	2	3	4	5	6	7	



Multiplication détendue rapide



Anticipation \rightsquigarrow acceleration

	↑								
	g_6								
	g_5								
$\frac{73}{24}$	g_4	$\frac{73}{24}$	$\frac{73}{12}$	$\frac{73}{8}$					
$\frac{13}{6}$	g_3	$\frac{13}{6}$	$\frac{13}{3}$	$\frac{13}{2}$					
$\frac{3}{2}$	g_2	$\frac{3}{2}$	3	$\frac{9}{2}$	6	$\frac{15}{2}$			
1	g_1	1	2	3	4	5			
1	g_0	1	2	3	4	5			
		f'_0	f'_1	f'_2	f'_3	f'_4	f'_5	f'_6	→
		1	2	3	4	5	6	7	



Multiplication détendue rapide



Anticipation \rightsquigarrow acceleration

	↑								
	g_6								
$\frac{167}{40}$	g_5	$\frac{167}{40}$							
$\frac{73}{24}$	g_4	$\frac{73}{24}$	$\frac{73}{12}$	$\frac{73}{8}$					
$\frac{13}{6}$	g_3	$\frac{13}{6}$	$\frac{13}{3}$	$\frac{13}{2}$					
$\frac{3}{2}$	g_2	$\frac{3}{2}$	3	$\frac{9}{2}$	6	$\frac{15}{2}$			
1	g_1	1	2	3	4	5			
1	g_0	1	2	3	4	5	6		
		f'_0	f'_1	f'_2	f'_3	f'_4	f'_5	f'_6	→
		1	2	3	4	5	6	7	



Multiplication détendue rapide



Anticipation \rightsquigarrow acceleration

	↑								
4051	g_6	4051	4051	4051	4051	4051	4051	28357	
$\frac{720}{167}$		$\frac{720}{167}$	$\frac{360}{167}$	$\frac{240}{501}$	$\frac{190}{167}$	$\frac{144}{167}$	$\frac{120}{501}$	$\frac{720}{1169}$	
$\frac{40}{167}$	g_5	$\frac{40}{167}$	$\frac{20}{167}$	$\frac{40}{501}$	$\frac{10}{167}$	$\frac{8}{167}$	$\frac{20}{501}$	$\frac{40}{1169}$	
$\frac{73}{24}$		$\frac{73}{24}$	$\frac{73}{12}$	$\frac{73}{8}$	$\frac{73}{6}$	$\frac{365}{24}$	$\frac{73}{4}$	$\frac{511}{24}$	
$\frac{13}{6}$	g_4	$\frac{13}{6}$	$\frac{13}{3}$	$\frac{13}{2}$	$\frac{26}{3}$	$\frac{65}{6}$	13	$\frac{91}{6}$	
$\frac{3}{2}$		$\frac{3}{2}$	3	$\frac{9}{2}$	6	$\frac{15}{2}$	9	$\frac{21}{2}$	
1	g_3	1	2	3	4	5	6	7	
1	g_2	1	2	3	4	5	6	7	
1	g_1	1	2	3	4	5	6	7	
	g_0	1	2	3	4	5	6	7	
		f'_0	f'_1	f'_2	f'_3	f'_4	f'_5	f'_6	→
		1	2	3	4	5	6	7	



Multiplication détendue rapide



Anticipation \rightsquigarrow acceleration

	↑								
4051	g_6	4051	4051	4051	4051	4051	4051	28357	
720		720	360	240	190	144	120	720	
167	g_5	167	167	501	167	167	501	1169	
40		40	20	40	10	8	20	40	
73	g_4	73	73	73	73	365	73	511	
24		24	12	8	6	24	4	24	
13	g_3	13	13	13	26	65	13	91	
6		6	3	2	3	6		6	
$\frac{3}{2}$	g_2	$\frac{3}{2}$	3	$\frac{9}{2}$	6	$\frac{15}{2}$	9	$\frac{21}{2}$	
1	g_1	1	2	3	4	5	6	7	
1	g_0	1	2	3	4	5	6	7	
		f'_0	f'_1	f'_2	f'_3	f'_4	f'_5	f'_6	→
		1	2	3	4	5	6	7	

$$\begin{aligned}
 R(n) &= O(2M(n/2) + 4M(n/4) + 8M(n/8) + \dots) \\
 &= O(M(n) \log n).
 \end{aligned}$$



Multiplication détendue rapide



Anticipation \rightsquigarrow acceleration

	↑								
4051	g_6	4051	4051	4051	4051	4051	4051	28357	
720		720	360	240	190	144	120	720	
167	g_5	167	167	501	167	167	501	1169	
40		40	20	40	10	8	20	40	
73	g_4	73	73	73	73	365	73	511	
24		24	12	8	6	24	4	24	
13	g_3	13	13	13	26	65	13	91	
6		6	3	2	3	6		6	
$\frac{3}{2}$	g_2	$\frac{3}{2}$	3	$\frac{9}{2}$	6	$\frac{15}{2}$	9	$\frac{21}{2}$	
1	g_1	1	2	3	4	5	6	7	
1	g_0	1	2	3	4	5	6	7	
		f'_0	f'_1	f'_2	f'_3	f'_4	f'_5	f'_6	→
		1	2	3	4	5	6	7	

Question ouverte : peut on faire mieux que $R_{\mathbb{K}}(n) = \mathcal{O}(M_{\mathbb{K}}(n) \log n)$?

Si \mathbb{K} admet suffisamment de racines 2^p -ièmes d'unité : $R_{\mathbb{K}}(n) = \mathcal{O}\left(M_{\mathbb{K}}(n) e^{2\sqrt{\log \log n}}\right)$



Nombres de Bell exacts



```
Mmx] use "algebramix"
```

```
Mmx] z == series (0, 1);
```

```
Mmx] B == exp (exp z - 1)
```

$$1 + z + z^2 + \frac{5}{6}z^3 + \frac{5}{8}z^4 + \frac{13}{30}z^5 + \frac{203}{720}z^6 + \frac{877}{5040}z^7 + \frac{23}{224}z^8 + \frac{1007}{17280}z^9 + O(z^{10})$$

Mmx] B[1000] * 1000!

298990133568240842148042235389764648394739280982123050478327378889454136251232595966411\
658725403915783006391470829869640280218022489933828810134112765748291211558117551708306\
660398388372739719716767823898008103618093192507553993252796567654352559993015297702671\
072816197338002816958815400075778991068786794511654925359304592337133163425515452428158\
023672572848526122010810163863085359901454473418004554723347138640805239789602963657369\
992959320805509285616330258006275249117001495621068958977250477447758122418009373104917\
978181075782339241873128246326290959938323347817130073234836882948253268974503868173274\
105329250746138883212641380838421962022429560013149534494972442718439227419082521076522\
013469338897410704353506902420620015226978552783560120557183928515678133971254191447804\
764791979909216020158737038207691826038367884657850935636860256902698021538024368735308\
770067371545238952730295102387459973562922326312827737487629893860039702144238439470940\
211779897375570203697515615950033729556214118584859598133447999679601962383683370223469\
467717030602692886916940284447912039785334547594105870650225464915188712384215608259071\
35885619221776405898771057270555814492299942157394767587858845457230622639923677500913\
196448615476584722822840058920443715875607118806277411394978188356321207615701749285296\
973972678995544073501612830971232110480492697276552797839007024160951328277664288650176\
533666963041314366902329794538763375997217728970492702305442626112649173933747563841527\
849436079524087826126392203807914452726550044759890642763737136089016506811654674903108\
988049168270694273109611092850355450847913394232664823599556633772015152043408175809154\
684899691816433410071978364814610517989956407892925801469185807037595566340194517315300\
342091892033775226683097711295661081016177274420456370981126788646543099877854633073765\
443395068782672673493481713208349719568066683040991599920673859986908203269024738867827\
81499414773179

Mmx]



$$\begin{aligned}P(z) &= 1.0000 + 1.0000 \cdot 2^{-64} z \\P(z)^2 &= 1.0000^2 + \\&\quad [(1.0000 + 1.0000 \cdot 2^{-64})^2 - 1.0000^2 - (1.0000 \cdot 2^{-64})^2] z + \\&\quad (1.0000 \cdot 2^{-64})^2 z^2 \\&= 1.0000 + (1.0000 - 1.0000 - 1.0000 \cdot 2^{-128}) z + 1.0000 \cdot 2^{-128} z^2 \\&= 1.0000 - 1.0000 \cdot 2^{-128} z + 1.0000 \cdot 2^{-128} z^2\end{aligned}$$

Préconditionnement

$$P^2 = [P \circ (2^{64} z)]^2 \circ (2^{-64} z)$$

Problème

$$P = 1.0000 + 1.0000 z + 1.0000 \cdot 2^{-64} z^2$$



$$\begin{aligned}P(z) &= 1.0000 + 1.0000 \cdot 2^{-64} z \\P(z)^2 &= 1.0000^2 + \\&\quad [(1.0000 + 1.0000 \cdot 2^{-64})^2 - 1.0000^2 - (1.0000 \cdot 2^{-64})^2] z + \\&\quad (1.0000 \cdot 2^{-64})^2 z^2 \\&= 1.0000 + (1.0000 - 1.0000 - 1.0000 \cdot 2^{-128}) z + 1.0000 \cdot 2^{-128} z^2 \\&= 1.0000 - 1.0000 \cdot 2^{-128} z + 1.0000 \cdot 2^{-128} z^2\end{aligned}$$

Préconditionnement

$$P^2 = [P \circ (2^{64} z)]^2 \circ (2^{-64} z)$$

Cas des séries

$$|\log |f_n| + n \log \rho| = (\log n)^{O(1)} \quad (\text{généralement})$$



Nombres de Bell approchés



```
Mmx] use "analyziz"
```

```
Mmx] bit_precision := 64;
```

```
Mmx] z == series (0.0, 1.0);
```

```
Mmx] B == exp (exp z - 1)
```

```
1.00000000000000000000 + 1.00000000000000000000 z + 1.00000000000000000000 z2 + 0.83333333333\
333333333369 z3 + 0.6250000000000000000054 z4 + 0.433333333333333333364 z5 + 0.2819444444444444\
44471 z6 + 0.174007936507936507948 z7 + 0.102678571428571428570 z8 + 0.058275462962962962\
9678 z9 + O(z10)
```

```
Mmx] B[10000]
```

```
5.59391085512067220085e - 7996
```

```
Mmx] bit_precision := 128;
```

```
Mmx] z == series (0.0, 1.0);
```

```
Mmx] B == exp (exp z - 1);
```

```
Mmx] B[10000]
```

```
5.593910855120671590744230174368375412679e - 7996
```

```
Mmx]
```



Inversion naïve

Mêmes estimations d'erreur pour $\frac{1}{1-z+z^2}$ et $\frac{1}{1-z-z^2}$

Méthode perturbative pour l'inversion

Estimation d'erreur fine pour $\frac{1}{1-z+z^2}$

Exponentiation naïve $g = \exp f$

Estimations généralement fines :

$\exp f$ et $\exp |f|$ même type de singularité dominant (où $|f|_n = |f_n|$)

Méthode perturbative pour l'exponentiation

$\tilde{g} \approx \exp f$, $h = \exp f / \tilde{g}$, $h' = (f' - \tilde{g}' / \tilde{g}) h$



Nombres de Bell certifiés



```
Mmx] use "analyziz"
```

```
Mmx] bit_precision := 64;
```

```
Mmx] z == series (0.0, 1.0);
```

```
Mmx] B == exp (exp z - 1);
```

```
Mmx] B[10000]
```

5.59391085512067220085e - 7996

```
Mmx] z == series (ball 0.0, ball 1.0);
```

```
Mmx] B == exp (exp z - 1);
```

```
Mmx] B[10000]
```

5.593910855121e - 7996

```
Mmx]
```




Modèles de Taylor d'ordre n sur $\mathcal{B}(0, r)$

$$\mathcal{B}_r(\varphi, K) = \{f \text{ analytique sur } \mathcal{B}(0, r) : \forall |z| \leq r, |f(z) - \varphi(z)| \leq K\}$$

$$\mathcal{B}_r(\mathbb{D}[z]_{<n}, \mathbb{D}) = \{\mathcal{B}_r(f_0 + \dots + f_{n-1} z^{n-1}, K) : f_0, \dots, f_{n-1}, K \in \mathbb{D}\}$$

Produit

$$\begin{aligned} & \mathcal{B}_r(f_0 + \dots + f_{n-1} z^{n-1}, K) \mathcal{B}_r(g_0 + \dots + g_{n-1} z^{n-1}, L) \\ &= \mathcal{B}_r(f_0 g_0 + \dots + (f_0 g_{n-1} + \dots + f_{n-1} g_0) z^{n-1}, E^{\text{tr}} + E^{\text{rnd}}) \\ E^{\text{tr}} &= |f_1| |g_{n-1}| + |f_2| (|g_{n-1}| + |g_{n-2}|) + \dots + |f_{n-1}| (|g_1| + \dots + |g_{n-1}|) \quad (\text{up}) \\ E^{\text{rnd}} &= [|f_0| |g_{n-1}| + \dots + (|f_0| + \dots + |f_{n-1}|) |g_0|] C 2^{-p} \quad (\text{up}) \end{aligned}$$

Intégration

$$\int \mathcal{B}_r(f_0 + \dots + f_{n-1} z^{n-1}, K) = \mathcal{B}_r(f_1 + \dots + \frac{f_{n-2}}{n-1} z^{n-1}, K r + \frac{|f_{n-1}|}{n} r^n + E^{\text{rnd}})$$



Exemple

$$\begin{aligned}f(x) &= (x - 1)^2 \\f^\bullet(x^\bullet) &= (x^\bullet)^2 - 2x^\bullet + 1\end{aligned}$$

$$\begin{aligned}f^*(\mathcal{B}(x, \varepsilon)) &= \mathcal{B}(f(x), 2|x - 1|\varepsilon + \mathcal{O}(\varepsilon^2)) \\f^\bullet(\mathcal{B}(x, \varepsilon)) &= \mathcal{B}(f(x), 2|x|\varepsilon + 2\varepsilon + \mathcal{O}(\varepsilon^2)) \\ \chi_{f^\bullet}(x) &= \frac{|x| + 1}{|x - 1|}\end{aligned}$$

Idée : utiliser modèle de Taylor à l'ordre ≥ 2

$$\begin{aligned}f^{\text{Taylor}}(\mathcal{B}_r(x, 0)) &= \mathcal{B}_r(y_0 + y_1 t, \varepsilon) \\f^\bullet(\mathcal{B}(x, r)) &= \mathcal{B}(y_0, |y_1|r + \varepsilon) \\ \chi_{f^\bullet}(x) &= 1\end{aligned}$$



Problème

$$\begin{aligned} Y' &= P(Y), & Y &= (Y_1, \dots, Y_n), P \in \mathbb{Q}[Y]^n \\ Y(z_0) &= C & z_0 &\in \mathbb{Q}[i], C \in \mathcal{B}(\mathbb{D}, \mathbb{D})^n \\ Y(z_1) &= ? & z_1 &\in \mathbb{Q}[i] \end{aligned}$$

Algorithme

1. Pour $n \asymp p$ et après translation vers $z_0 = 0$, calculer

$$Y \approx Y_0 + \dots + Y_{n-1} z^{n-1} + \mathcal{O}(z^n).$$

2. Calculer K et $Y^\bullet = \mathcal{B}_{|z_1|}(Y_0 + \dots + Y_{n-1} z^n, K)$ avec

$$C + \int P(Y^\bullet) \subseteq Y^\bullet$$

En cas de succès, retourner $Y^\bullet(z_1)$

Calcul de K : itérer $Y^\bullet \mapsto C + \int P(Y^\bullet)$ en commençant par $Y^\bullet = Y_0 + \dots + Y_{n-1} z^n$, et grossir

3. Calculer $Y(z_1/2)$, puis $Y(z_1)$ en fonction de $Y(z_1/2)$

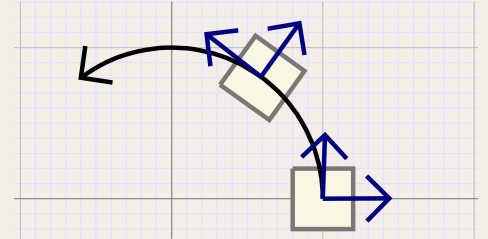


Effet d'enveloppement



Exemple

$$Y' = \begin{pmatrix} 0 & 1 \\ 1 & 0 \end{pmatrix} Y$$



Idée 1 : calculer la dépendance en fonction de la condition initiale

$$Y(z, \varepsilon) = C + \varepsilon + \int_0^z P(Y(t, \varepsilon)) dt$$

$$J(z) = \frac{\partial Y}{\partial \varepsilon}(z, 0) = I + \int_0^z \frac{\partial P}{\partial Y}(Y(t, 0)) \frac{\partial Y}{\partial \varepsilon}(t, 0) dt$$

Idée 2 : encadrements de l'erreur dans coordonnées déterminées par $\tilde{J} \approx J$

$$Y^\bullet(z) = Y_{\text{cen}}(z) + \tilde{J}(z) \mathcal{B}(0, Y_{\text{rad}}(z))$$

$$\tilde{J}_{21} (\tilde{J}_1 \mathcal{B}_1 + E) = \tilde{J}_{21} \tilde{J}_1 (\mathcal{B}_1 + \tilde{J}_1^{-1} E)$$

$$=: \tilde{J}_2 \mathcal{B}_2$$

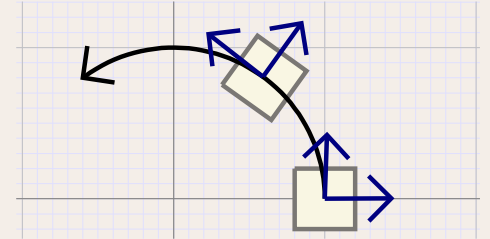


Effet d'enveloppement



Exemple

Volterra



Idée 1 : calculer la dependance en fonction de la condition initiale

$$Y(z, \varepsilon) = C + \varepsilon + \int_0^z P(Y(t, \varepsilon)) dt$$

$$J(z) = \frac{\partial Y}{\partial \varepsilon}(z, 0) = I + \int_0^z \frac{\partial P}{\partial Y}(Y(t, 0)) \frac{\partial Y}{\partial \varepsilon}(t, 0) dt$$

Idée 2 : encadrements de l'erreur dans coordonnées déterminées par $\tilde{J} \approx J$

$$Y^\bullet(z) = Y_{\text{cen}}(z) + \tilde{J}(z) \mathcal{B}(0, Y_{\text{rad}}(z))$$

$$\tilde{J}_{21} (\tilde{J}_1 \mathcal{B}_1 + E) = \tilde{J}_{21} \tilde{J}_1 (\mathcal{B}_1 + \tilde{J}_1^{-1} E)$$

$$=: \tilde{J}_2 \mathcal{B}_2$$

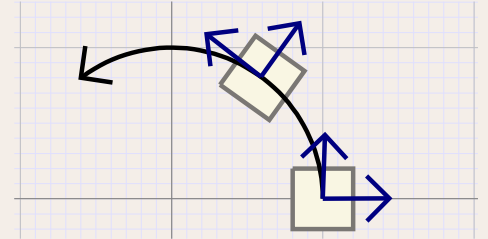


Effet d'enveloppement



Exemple

$$Y' = \begin{pmatrix} 0 & 1 \\ 1 & 0 \end{pmatrix} Y$$



Idée 1 : calculer la dépendance en fonction de la condition initiale

$$Y(z, \varepsilon) = C + \varepsilon + \int_0^z P(Y(t, \varepsilon)) dt$$

$$J(z) = \frac{\partial Y}{\partial \varepsilon}(z, 0) = I + \int_0^z \frac{\partial P}{\partial Y}(Y(t, 0)) \frac{\partial Y}{\partial \varepsilon}(t, 0) dt$$

Idée 2 : encadrements de l'erreur dans coordonnées déterminées par $\tilde{J} \approx J$

$$Y^\bullet(z) = Y_{\text{cen}}(z) + \tilde{J}(z) \mathcal{B}(0, Y_{\text{rad}}(z))$$

$$\tilde{J}_{21} (\tilde{J}_1 \mathcal{B}_1 + E) = \tilde{J}_{21} \tilde{J}_1 (\mathcal{B}_1 + \tilde{J}_1^{-1} E)$$

$$=: \tilde{J}_2 \mathcal{B}_2$$



$$\{f_0^\bullet + \dots + f_{n-1}^\bullet z^{n-1} + \mathcal{B}_r(0, K) z^n : f_0^\bullet, \dots, f_{n-1}^\bullet \in \mathcal{B}(\mathbb{D}, \mathbb{D}), K \in \mathbb{D}\}$$

Avantages définition classique

- Multiplication presque aussi efficace que multiplication dans $\mathbb{D}[z]$

Avantages variante

- Pas essentiellement plus lent en précision multiple, si on calcule les erreurs en précision simple
- Borne plus fine (par exemple sur $\mathcal{B}(0, s)$ avec $s < r$)
- Parfois de meilleure qualité :

$$\begin{aligned} & \int f_0^\bullet + \dots + f_{n-1}^\bullet z^{n-1} + \mathcal{B}_r(0, K) z^n \\ &= f_1^\bullet + \dots + \frac{f_{n-2}^\bullet}{n-1} z^{n-1} + \mathcal{B}\left(0, \frac{\lceil f_{n-1}^\bullet \rceil}{n} + \frac{K}{n+1}\right) \end{aligned}$$

- Ne nécessite pas une précision $p \geq cn$ pour être précis



Qualité des estimations



$$\varphi := f_0 + \cdots + f_{n-1} z^{n-1} \in f;_n \text{ (donnée)}$$

$$\varepsilon z^n := f_n z^n + \cdots \in f_n; \text{ (à calculer)}$$

$$\Phi(f) = C + \int P(f)$$

$$\Phi(\varphi^\bullet + \varepsilon^\bullet z^n) \subseteq \varphi^\bullet + \varepsilon^\bullet z^n$$

$$\Phi(\varphi^\bullet) \subseteq \varphi^\bullet + \delta^\bullet z^n$$

$$\Phi(\varphi^\bullet + \varepsilon^\bullet z^n) = \Phi(\varphi^\bullet) + J_\Phi(\varphi^\bullet) \varepsilon^\bullet z^n + \mathcal{O}((\varepsilon^\bullet z^n)^2)$$

$$\subseteq \varphi^\bullet + \delta^\bullet z^n + \frac{r}{n} J_P(\varphi^\bullet) \varepsilon^\bullet z^n$$

$$\delta^\bullet + \frac{r}{n} J_P(\varphi^\bullet) \varepsilon^\bullet \subseteq \varepsilon^\bullet$$

$$\varepsilon^\bullet \subseteq \frac{\delta^\bullet}{1 - \left\| \frac{r}{n} J_P(\varphi^\bullet) \right\|}$$



Racines d'un polynôme



```
Mmx] use "analyziz"; include "graphix/points.mmx";
```

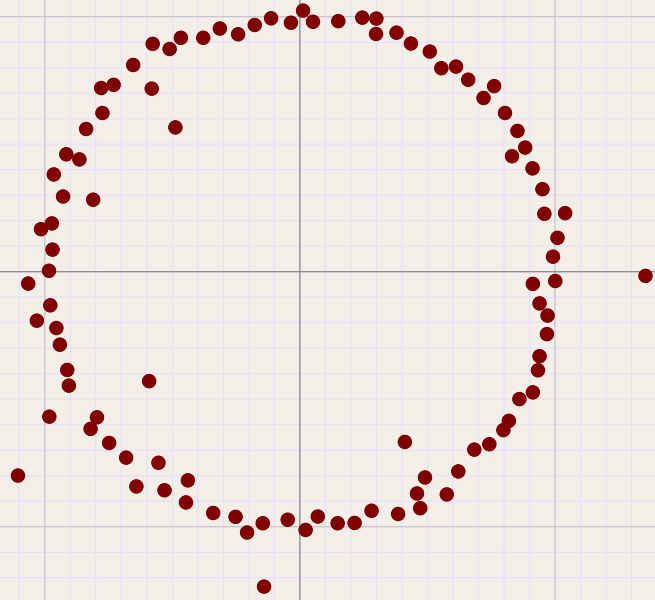
Computed in 33 ms

```
Mmx] pi == 4.0 * arctan 1.0;
```

```
Mmx] rnd () == exp (complex (0.0, uniform_deviante (0.0, 2*pi)));
```

```
Mmx] p == polynomial (rnd () | i in 0 to 100);
```

Mmx] \$points roots p



Compound

Computed in 454 ms

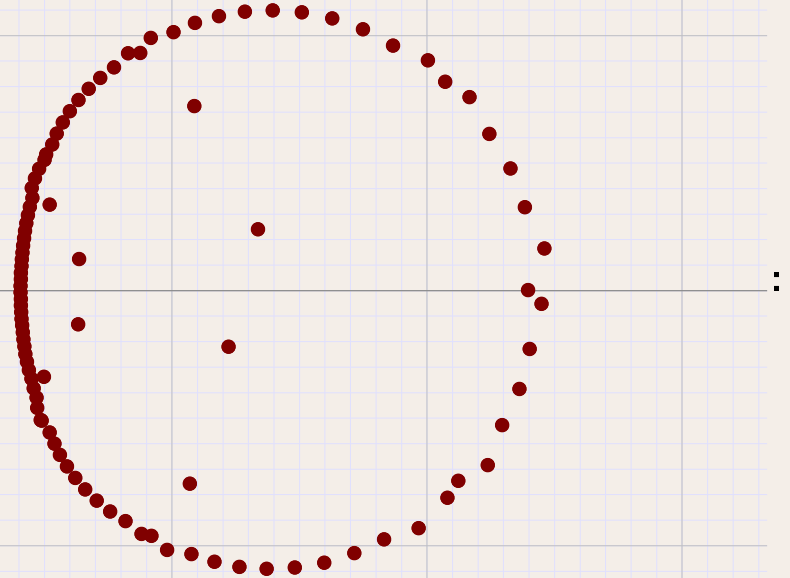


Racines d'un polynôme



```
Mmx] p == poly (1.0, -1.0)^100;
```

Mmx] \$points (roots p)



Compound

Computed in 639 ms



Racines d'un polynôme



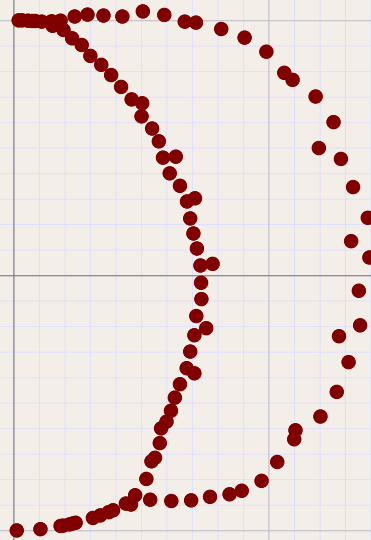
```
Mmx] v == [ rnd () | i in 1 to 100 ];
```

```
Mmx] v == [ sqrt rnd () | i in 1 to 100 ];
```

```
Mmx] p == annihilator v;
```

Computed in 18 ms

Mmx] \$points (roots p)



Compound

Computed in 641 ms



Racines d'un polynôme

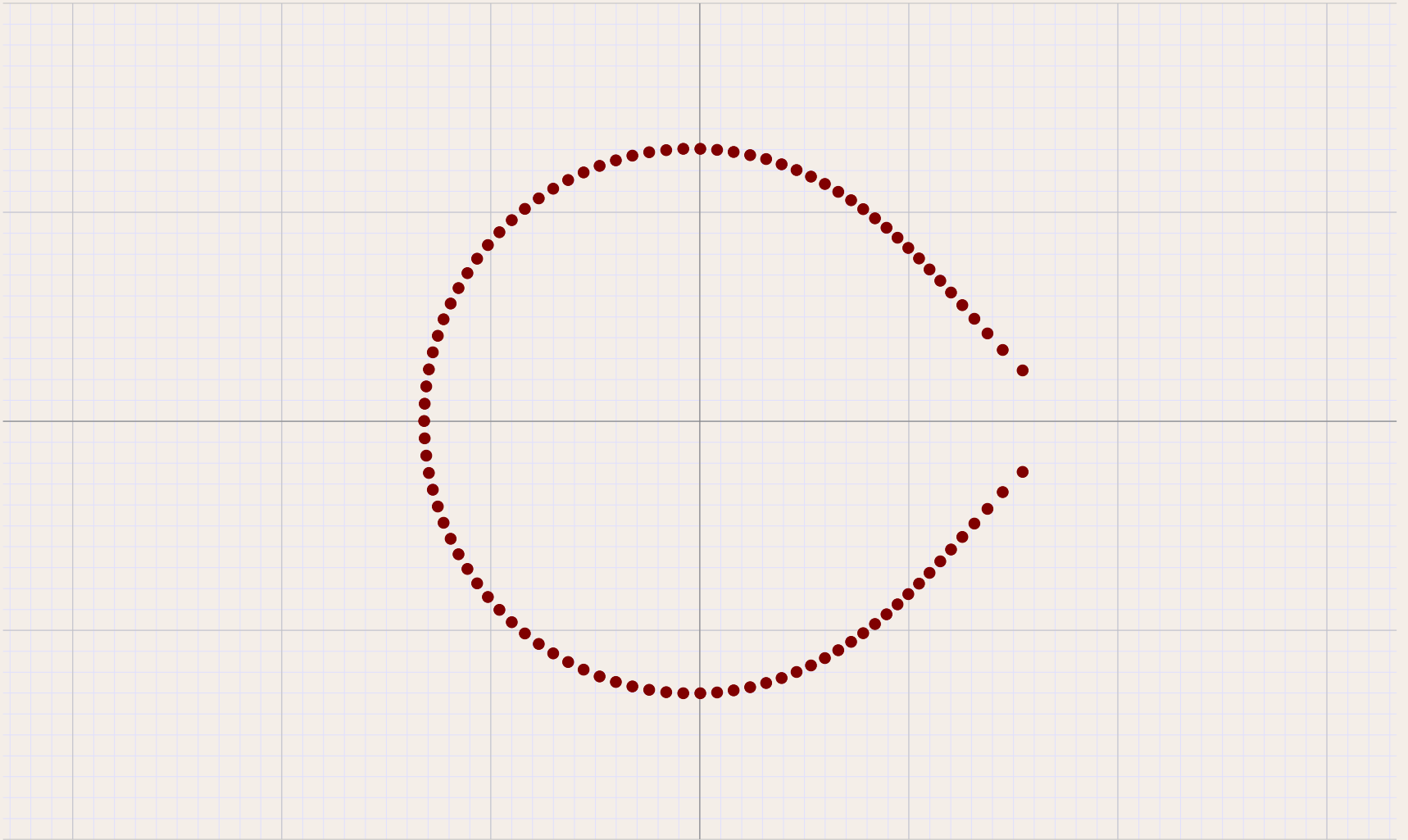


```
Mmx] z == series (0.0, 1.0);
```

```
Mmx] B == exp (exp z - 1);
```

```
Mmx] p == B[0,100];
```

```
Mmx] $points (0.5 * roots p)
```





Racines d'un polynôme

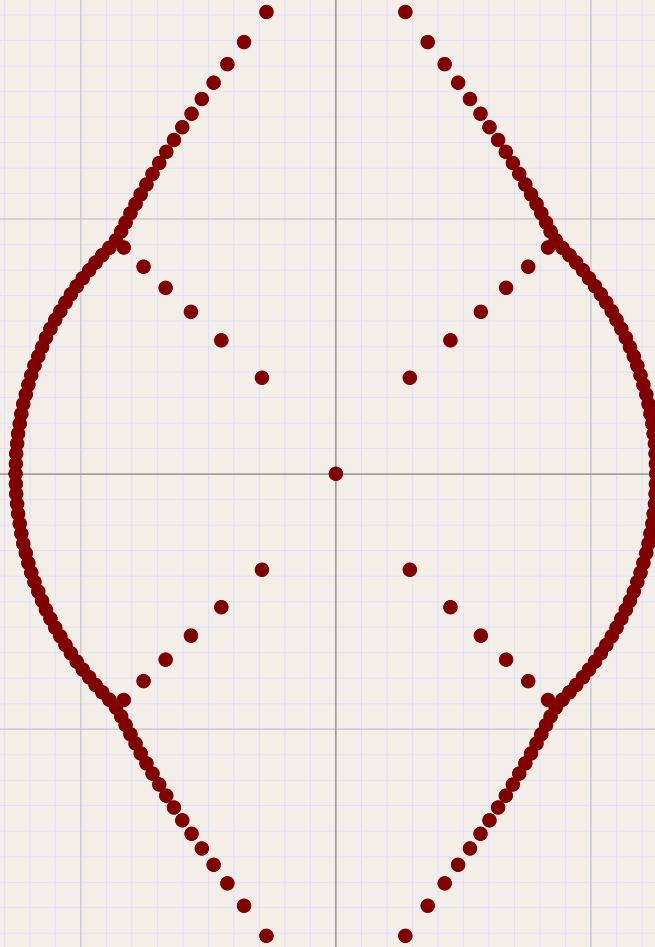


```
Mmx] z == series (0.0, 1.0);
```

```
Mmx] f == integrate exp (-z*z);
```

```
Mmx] p == f[0,200];
```

```
Mmx] $points (0.2 * roots p)
```





Meilleur conditionnement

$$P(z) = z^n - 1$$
$$z_k = e^{2\pi i k/n}$$

Pire conditionnement

$$P(z) = (z - 1)^n$$
$$z_k = 1$$



Meilleur conditionnement

$$\begin{aligned}P(z) &= z^n - 1 + E(z) \\z_k &= e^{2\pi i k/n} + O(n \|E\|) \\ \|E\| &= \sup_{|z| \leq 1} \|E(z)\|\end{aligned}$$

Pire conditionnement

$$\begin{aligned}P(z) &= (z - 1)^n \\z_k &= 1\end{aligned}$$



Meilleur conditionnement

$$\begin{aligned}P(z) &= z^n - 1 + E(z) \\z_k &= e^{2\pi i k/n} + O(n \|E\|) \\ \|E\| &= \sup_{|z| \leq 1} \|E(z)\|\end{aligned}$$

Pire conditionnement

$$\begin{aligned}P(z) &= (z - 1)^n + E(z) \\z_k &= 1 + O(\sqrt[n]{\|E\|})\end{aligned}$$



Itération d'Aberth (Bini, Fiorentino)



Entrées

- $P = P_n z^n + \dots + P_0 \in \mathbb{C}[z]$
- $z_1, \dots, z_n \in \mathbb{C}$

(on peut commencer avec $z_k = e^{2\pi i k/n}$)

Idée

Pour chaque k appliquer la méthode de Newton sur

$$f(z) = \frac{P(z)}{\prod_{j \neq k} (z - z_j)}$$

Itération

$$z'_k := z_k - \frac{P(z_k)}{P'(z_k) - P(z_k) \sum_{j \neq k} \frac{1}{z_k - z_j}}$$



Définition

$$\begin{aligned}P(z) &= P_{\text{pair}}(z^2) + P_{\text{imp}}(z^2) z \\G(P)(z) &= P_{\text{pair}}(z)^2 - P_{\text{imp}}(z)^2 z\end{aligned}$$

Propriété fondamentale

$$\begin{aligned}P_{\text{pair}}(z^2) &= \frac{1}{2} (P(z) + P(-z)) \\P_{\text{imp}}(z^2) &= \frac{1}{2z} (P(z) - P(-z)) \\G(P)(z^2) &= \frac{1}{4} ((P(z) + P(-z))^2 - (P(z) - P(-z))^2) \\&= P(z) P(-z)\end{aligned}$$

Racines 2^P -ièmes en utilisant les nombres tangents dans $\mathbb{C}[\epsilon] / (\epsilon^2)$

$$\begin{aligned}P(z) &\rightsquigarrow P(z - \epsilon) = P(z) - P'(z) \epsilon \\(z + \epsilon)^{2^k} &= z^{2^k} + 2^k z^{2^k - 1} \epsilon = u + v \epsilon \\z &= \frac{u}{2^k v}\end{aligned}$$



Définition

$$\begin{aligned}P(z) &= P_{\text{pair}}(z^2) + P_{\text{imp}}(z^2) z \\G(P)(z) &= P_{\text{pair}}(z)^2 - P_{\text{imp}}(z)^2 z\end{aligned}$$

Propriété fondamentale

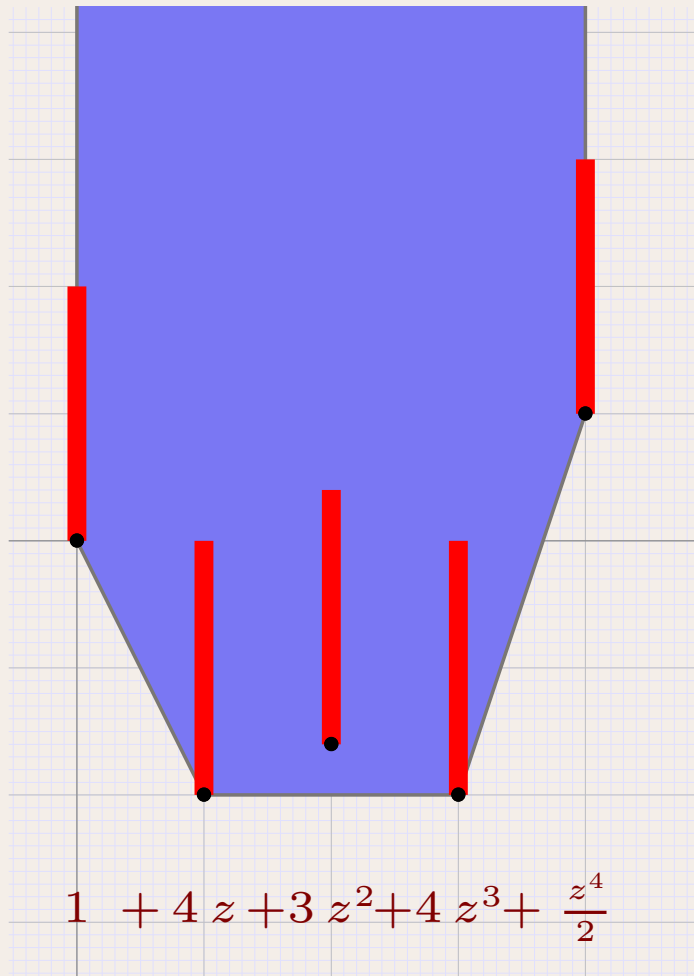
$$\begin{aligned}\deg P &= \deg G(P) \\P(z) = 0 &\Rightarrow G(P)(z^2) = 0\end{aligned}$$

Racines 2^p -ièmes en utilisant les nombres tangents dans $\mathbb{C}[\epsilon] / (\epsilon^2)$

$$\begin{aligned}P(z) &\rightsquigarrow P(z - \epsilon) = P(z) - P'(z) \epsilon \\(z + \epsilon)^{2^k} &= z^{2^k} + 2^k z^{2^k - 1} \epsilon = u + v \epsilon \\z &= \frac{u}{2^k v}\end{aligned}$$

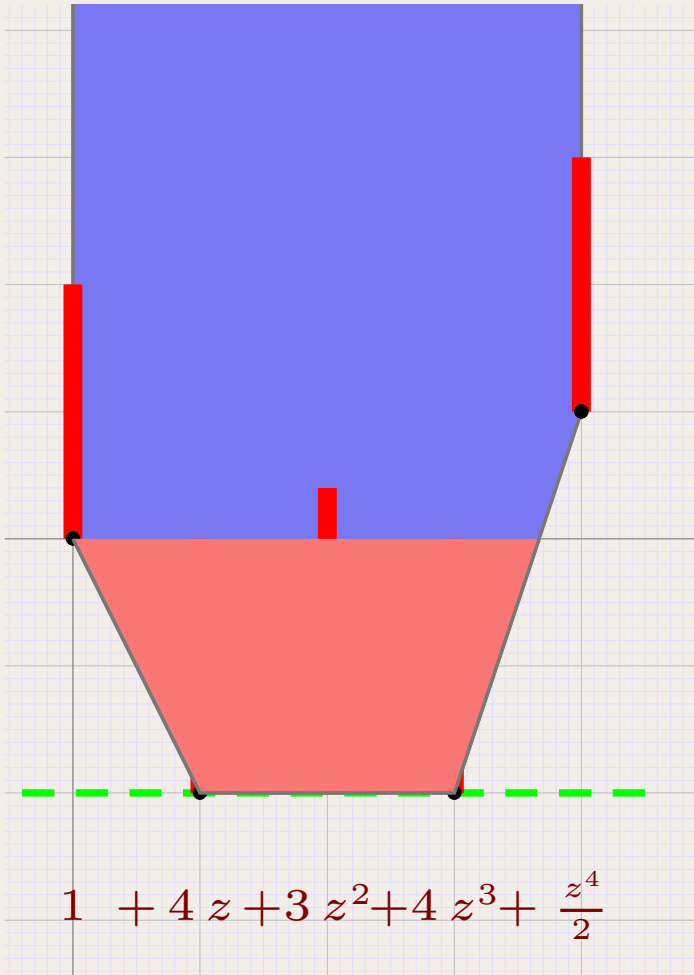


Polygone numérique de Newton





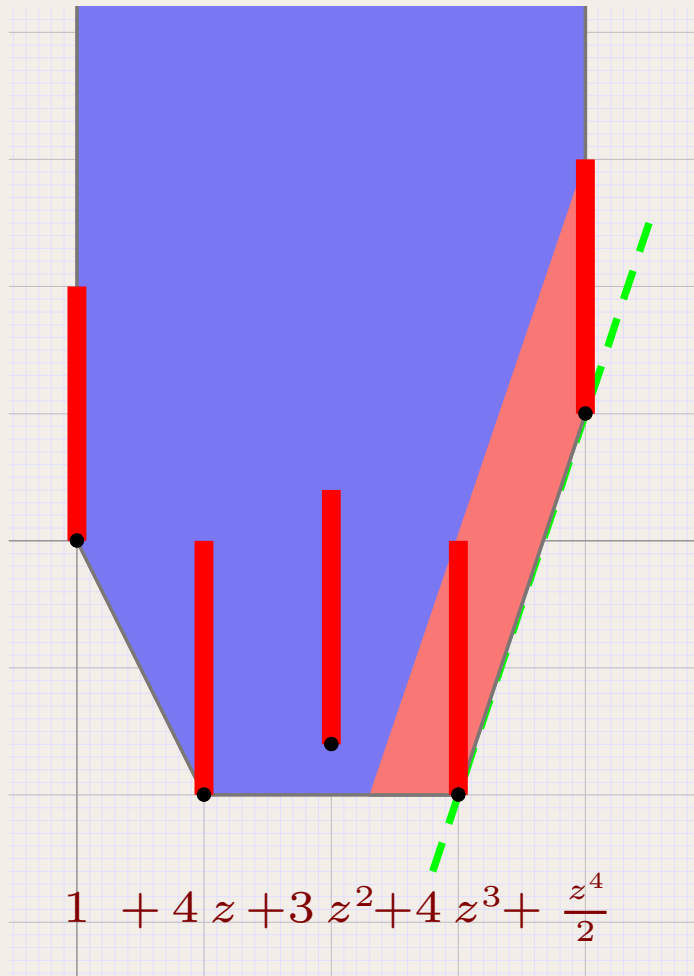
Polygone numérique de Newton



Évaluation en $|z| = 1$



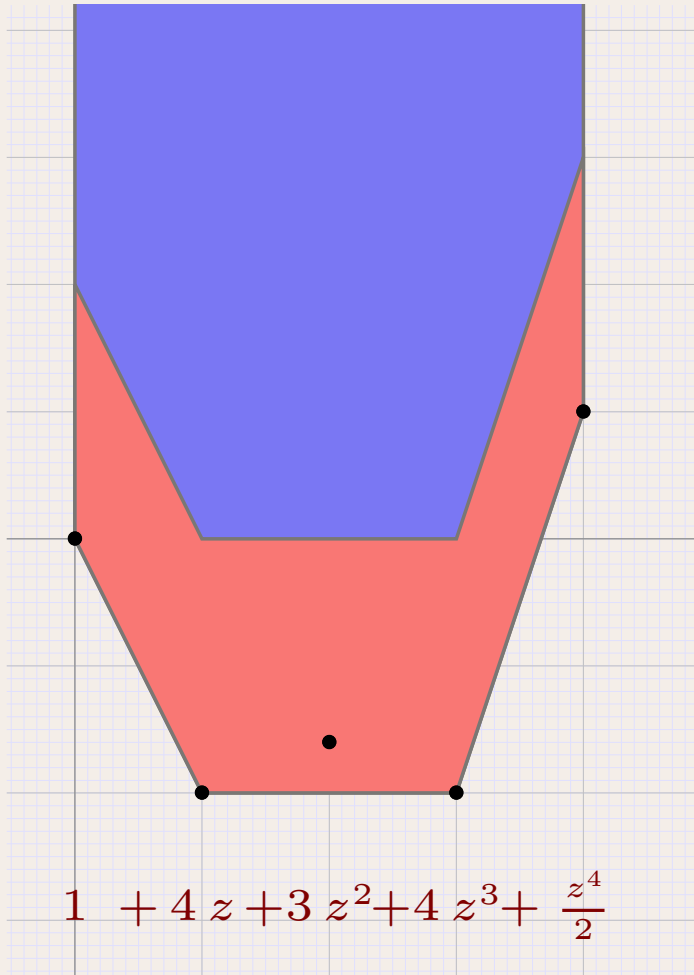
Polygone numérique de Newton



Évaluation en $|z| = 8$



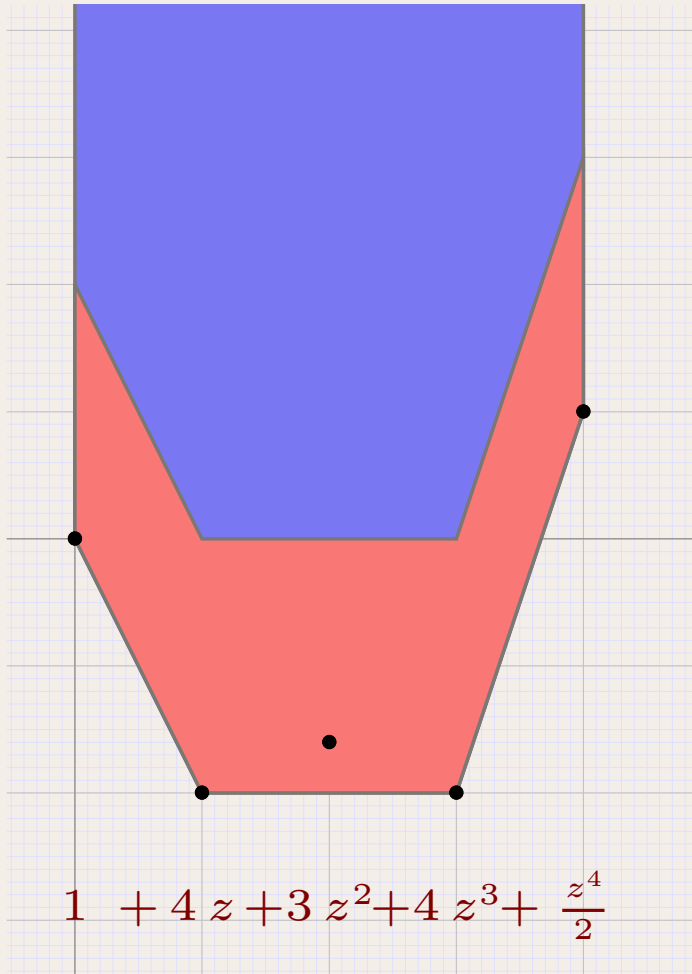
Polygone numérique de Newton



Polygone de Newton
↓
Comportement en évaluation



Polygone numérique de Newton



Pentes du polygone de Newton



Modules des racines

$$z_1 \approx -0.289$$

$$z_2 \approx -0.193 - 0.952i$$

$$z_3 \approx -0.193 + 0.952i$$

$$z_4 \approx -7.325$$

$$|z_1| \approx \frac{1}{4}$$

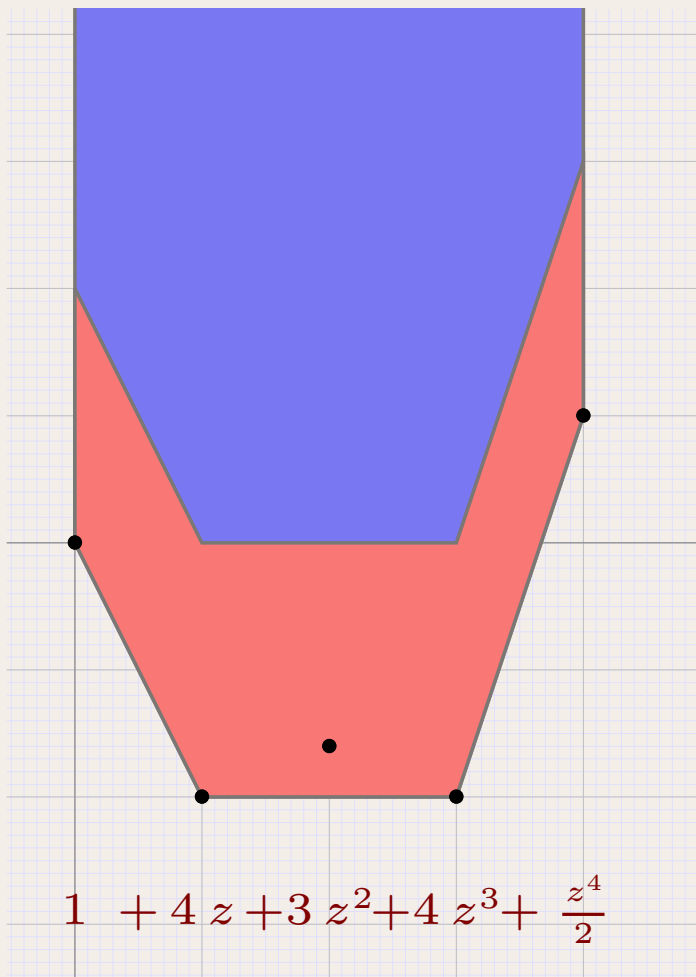
$$|z_2| \approx 1$$

$$|z_3| \approx 1$$

$$|z_4| \approx 8$$



Polygone numérique de Newton



Pentes du polygone de Newton



Modules des racines

$z_1 \approx -0.289$	$ z_1 \approx 1/4$
$z_2 \approx -0.193 - 0.952i$	$ z_2 \approx 1$
$z_3 \approx -0.193 + 0.952i$	$ z_3 \approx 1$
$z_4 \approx -7.325$	$ z_4 \approx 8$

Question ouverte abordable

Pentes : $\alpha_1 \leq \dots \leq \alpha_n$

Racines : $|z_1| \leq \dots \leq |z_n|$

$$|\log_2 |z_k| - \alpha_k| \leq c \log n$$

pour une certaine constante $c \geq 1$



Problème

Meilleure approximation possible des racines pour précision p donnée
(Perturbation relative des coefficients par des facteurs $\leq 2^{-p}$ permise)

Arithmétique naïve en précision machine

Espoir : algorithme en temps Cn^2 avec C petit

Arithmétique rapide en précision multiple

Nécessite une précision d'au moins $p \geq n$

Espoir : algorithme en temps $C \mathcal{O}((p+n)n) \log^{O(1)} n$, avec C pas trop grand

Théorème. (Schönhage, Gourdon) Pour $P \in \mathbb{Z}[z] 2^{-p}$ avec $\|P\| \leq 1$, on peut calculer en temps $\mathcal{O}((p+n \log n)n)$ des nombres $a_k, b_k \in \mathbb{Z} 2^{-p}$ avec

$$\|P - (a_1 + b_1 z) \cdots (a_n + b_n z)\| \leq 2^{-p}$$



Dilemme fondamental



Problème

Meilleure approximation possible des racines pour précision p donnée
(Perturbation relative des coefficients par des facteurs $\leq 2^{-p}$ permise)

Arithmétique naïve en précision machine

Réaliste : algorithme en temps $C K_{\kappa, n} n^2$ avec C petit

Arithmétique rapide en précision multiple

Nécessite une précision d'au moins $p \geq n$

Réaliste : algorithme en temps $C K_{\kappa, n} l((p+n)n) \log^{O(1)} n$, avec C pas trop grand

Théorème. (Schönhage, Gourdon) Pour $P \in \mathbb{Z}[z] 2^{-p}$ avec $\|P\| \leq 1$, on peut calculer en temps $\mathcal{O}(l((p+n \log n)n))$ des nombres $a_k, b_k \in \mathbb{Z} 2^{-p}$ avec

$$\|P - (a_1 + b_1 z) \cdots (a_n + b_n z)\| \leq 2^{-p}$$



Arithmétique naïve en précision machine

n fois Horner : $E(n, p) = \mathcal{O}(l(p) n^2)$

Arithmétique rapide en précision multiple

$E(n, p) = \mathcal{O}(l((p+n)n) \log n)$

Algorithme intermédiaire

$E(n, p) = \mathcal{O}(l(n^{3/2} p^{3/2} \log^3 n))$ (meilleur si $p \ll \sqrt[3]{n}$)

Question ouverte

Peut-on faire mieux pour $p = o(n)$?



Certification par la méthode de Krawczyk/Rump



$$f: \mathbb{C}^n \rightarrow \mathbb{C}^n, \quad \mathcal{B}(z, r) \in \mathcal{B}(\mathbb{C}^n, \mathbb{R}^n), \quad V \approx J_f(z)^{-1}$$

$$K(\mathcal{B}(z, r)) = z - Vf(z) + (1 - VJ_f(\mathcal{B}(z, r))) \mathcal{B}(0, r)$$

Théorème. Si $K(\mathcal{B}(z, r)) \subseteq \mathcal{B}(z, r)$, alors $f(u) = 0$ pour un certain $u \in \mathcal{B}(z, r)$.

Démonstration. Soit $g(z) = z - Vf(z)$. Pour $u \in \mathcal{B}(z, r)$, on a

$$\begin{aligned} g(u) &= g(z) + \int_0^1 J_g(z + (u - z)t) (u - z) dt \\ &\subseteq g(z) + J_g(\mathcal{B}(z, r)) \mathcal{B}(0, r), \end{aligned}$$

puisque $J_g(\mathcal{B}(z, r))$ est convexe. Donc

$$g(\mathcal{B}(z, r)) \subseteq g(z) + J_g(\mathcal{B}(z, r)) \mathcal{B}(0, r) \subseteq \mathcal{B}(z, r),$$

donc g admet un point fixe, grace au théorème de Brouwer. □



Certification par la méthode de Krawczyk/Rump



$$f: \mathbb{C}^n \rightarrow \mathbb{C}^n, \quad \mathcal{B}(z, r) \in \mathcal{B}(\mathbb{C}^n, \mathbb{R}^n), \quad V \approx J_f(z)^{-1}$$

$$K(\mathcal{B}(z, r)) = z - Vf(z) + (1 - VJ_f(\mathcal{B}(z, r)))\mathcal{B}(0, r)$$

Théorème. *Si $K(\mathcal{B}(z, r)) \subseteq \mathcal{B}(z, r)$, alors $f(u) = 0$ pour un certain $u \in \mathcal{B}(z, r)$.*

Théorème. *Si $K(\mathcal{B}(z, r)) \subseteq \text{int } \mathcal{B}(z, r)$, alors $f(u) = 0$ pour un unique $u \in \mathcal{B}(z, r)$.*



Certification par la méthode de Krawczyk/Rump



$$f: \mathbb{C}^n \rightarrow \mathbb{C}^n, \quad \mathcal{B}(z, r) \in \mathcal{B}(\mathbb{C}^n, \mathbb{R}^n), \quad V \approx J_f(z)^{-1}$$

$$K(\mathcal{B}(z, r)) = z - Vf(z) + (1 - VJ_f(\mathcal{B}(z, r)))\mathcal{B}(0, r)$$

Théorème. Si $K(\mathcal{B}(z, r)) \subseteq \mathcal{B}(z, r)$, alors $f(u) = 0$ pour un certain $u \in \mathcal{B}(z, r)$.

Théorème. Si $K(\mathcal{B}(z, r)) \subseteq \text{int } \mathcal{B}(z, r)$, alors $f(u) = 0$ pour un unique $u \in \mathcal{B}(z, r)$.

Pour trouver r , faire

$$\begin{aligned} r_0 &= 0 \\ r_{k+1} &= (1 + \varepsilon) \max(r_k, \text{rad } K(z, r_k)) \end{aligned}$$



Racines multiples



Problème

$$P(\sigma) \approx (z - \sigma)^\mu + P_{\mu+1}(z - \sigma)^{\mu+1} + \dots + P_n(z - \sigma)^n$$

Comment montrer que P admet exactement μ racines sur $\mathcal{B}(\sigma, r)$?

Réponse *via* les modèles de Taylor

Prendre $\mathbf{u} = \mathcal{B}_r(\sigma + z, 0) \in \mathcal{B}_r(\mathbb{C}[z]_{\leq \nu}, \mathbb{R})$ pour $\nu \geq \mu$ et évaluer

$$\mathbf{v} = P(\mathbf{u}) = \mathcal{B}_r(Q_0 + \dots + Q_\nu z^\nu, \varepsilon).$$

Montrer que tout $\tilde{P} \in \mathbf{v}$ admet μ racines dans $\mathcal{B}(0, r)$.

Par exemple

$\varepsilon + |Q_0| + \dots + |Q_{\mu-1}| r^{\mu-1} + |Q_{\mu-1}| r^{\mu+1} + \dots + |Q_\nu| r^\nu < |Q_\mu| r^\mu$ et Rouché



Homotopies numériques



$$P(x, y) \quad \begin{cases} x^2 + 2xy - y^2 - 3x + 5y + 8 = 0 \\ 3x^2 - xy + y^2 + 8x - 2y + 7 = 0 \end{cases}$$

$$\text{Fastoche}(x, y) \quad \begin{cases} x^2 - 1 = 0 \\ y^2 - 1 = 0 \end{cases}$$

$$H(x, y, t) \quad \begin{cases} (x^2 - 1)t + (x^2 + 2xy - y^2 - 3x + 5y + 8)(1 - t) = 0 \\ (y^2 - 1)t + (3x^2 - xy + y^2 + 8x - 2y + 7)(1 - t) = 0 \end{cases}$$

Références

Numérique : Drexler 77, Morgan 87, Verschelde 96, Sommese-Wampler 05, etc.

Théorique : Shub-Smale, Pardo, Dedieu, etc.

Algébrique : Giusti-Heintz-Morais-Pardo 95, Lecerf 01, Durvye 08



Homotopies numériques



$$P(x, y) \quad \begin{cases} x^2 + 2xy - y^2 - 3x + 5y + 8 = 0 \\ 3x^2 - xy + y^2 + 8x - 2y + 7 = 0 \end{cases}$$

$$\text{Fastoche}(x, y) \quad \begin{cases} x^2 - 1 = 0 \\ y^2 - 1 = 0 \end{cases}$$

$$H(x, y, t) \quad \begin{cases} (x^2 - 1)t + (x^2 + 2xy - y^2 - 3x + 5y + 8)(1 - t) = 0 \\ (y^2 - 1)t + (3x^2 - xy + y^2 + 8x - 2y + 7)(1 - t) = 0 \end{cases}$$

Exemples...



Solutions à l'infini



$$P_1 = x^2 - 2x$$

$$P_2 = xy - 2$$

$$P_1 = x^2 - 2xz$$

$$P_2 = xy - 2z^2$$

$$P_3 = 3x - 5y + 7z - 10$$

Solutions multiples

$$x_t, y_t, z_t \in \mathbb{C}((t^{1/\kappa}))$$



Méthode « préducteur-correcteur »

$$H(z, t) \approx 0$$

$$H(z + dz, t + dt) \approx 0$$

$$dz = -\frac{\partial H}{\partial z}(z, t)^{-1} \left(H(z, t) + \frac{\partial H}{\partial t}(z, t) dt \right) \quad (\text{prédiction})$$

$$dz += -\frac{\partial H}{\partial z}(z, t)^{-1} H(z + dz, t + dt) \quad (\text{correction})$$

Contrôle de pas

$$dt := \lambda dt \quad (\lambda > 1), \text{ si pas accepté}$$

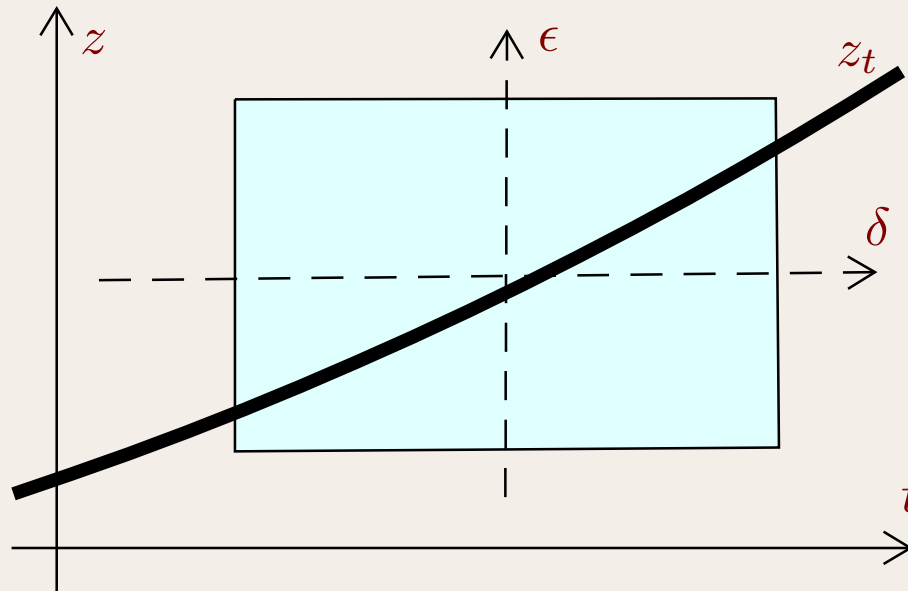
$$dt := \alpha dt, \text{ sinon}$$

Critère numérique d'acceptation

$$\left\| \frac{\partial H}{\partial z}(z, t)^{-1} \frac{\partial H}{\partial z}(z + dz, t + dt) - 1 \right\| \leq \text{seuil}$$



Krawczyk-Rump uniforme

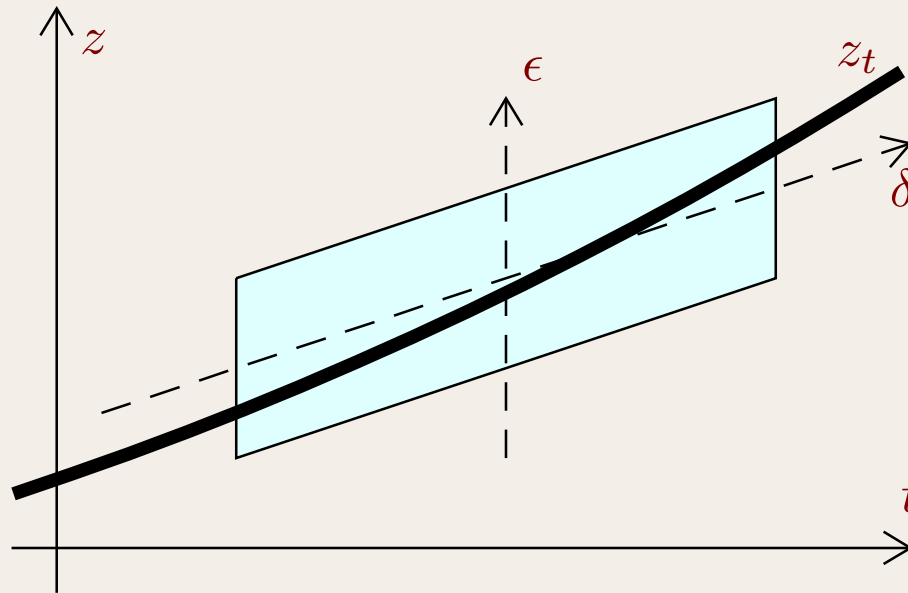




Suivi de chemin certifié



Modèles de Taylor (ordre ≤ 1 en z et t)





Racines multiples



Idée : prendre un paquet de chemins « conjugués »

$$z_t^k = \varphi(e^{2\pi i k / \kappa} t)$$
$$\varphi \in \mathbb{C}((t^{1/\kappa}))^n.$$

Considérer $Z_t = \{z_t^1, \dots, z_t^\kappa\}$ comme « chemin » avec idéal \mathfrak{I}_t

Représentation de \mathfrak{I}_t (en position générale)

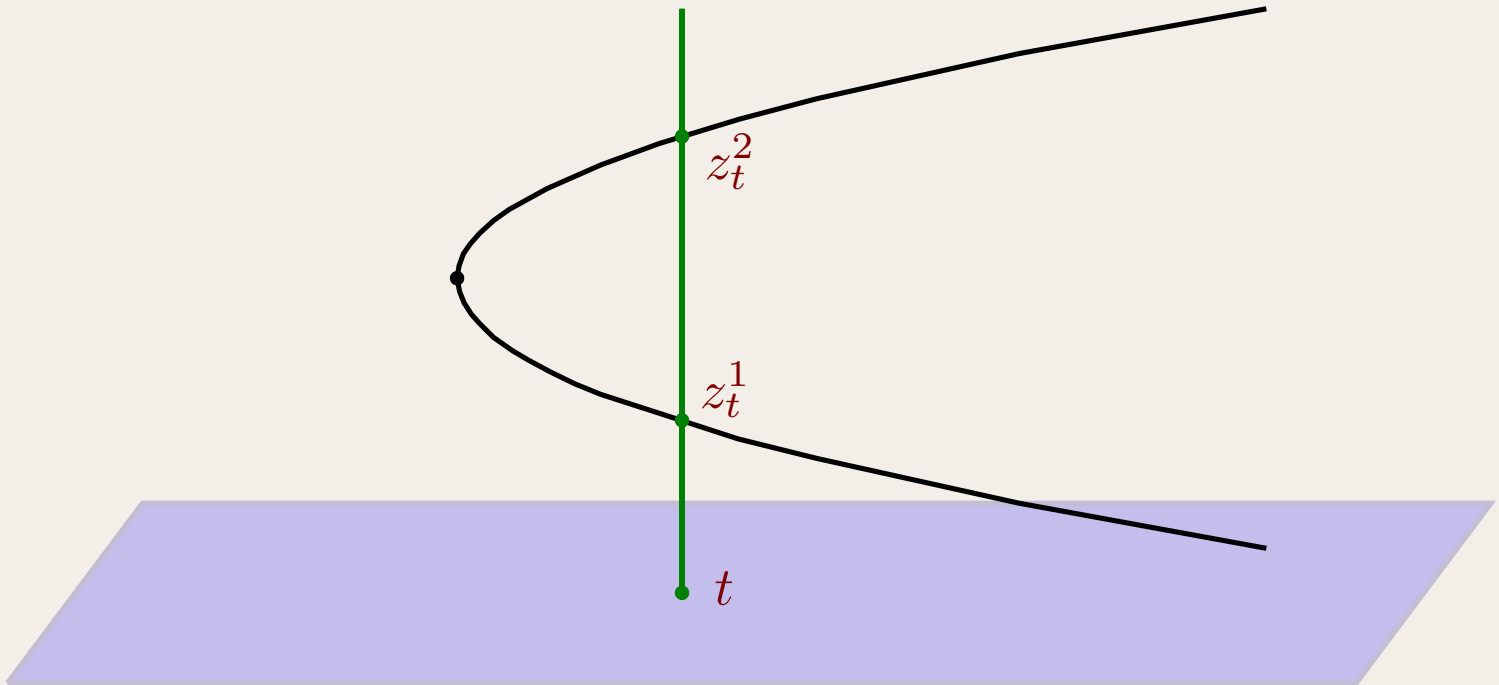
$$\begin{cases} (z_{t,1})^\kappa - U_{t,1}(z_{t,1}) = (z_{t,1} - z_{t,1}^1) \cdots (z_{t,1} - z_{t,1}^\kappa) \\ z_{t,2} - U_{t,2}(z_{t,1}) \\ \vdots \\ z_{t,n} - U_{t,n}(z_{t,1}) \end{cases}$$

Remonter l'homotopie H

Évaluer H en $(u, U_{t,2}(u), \dots, U_{t,n}, t) \in \mathbb{A}^n \times \mathbb{C}$ avec $\mathbb{A} = \mathbb{C}[u] / (u^\kappa - U_{t,1}(u))$



Exemple



$$P(z, t) = 0$$

$$\mathbb{A}_{\alpha, \beta} = \mathbb{C}[u] / ((u - \alpha)(u - \beta))$$

$$P(u, t) \in \mathbb{A}_{\alpha, \beta}$$

$$P(u, t) = 0 \Leftrightarrow P(\alpha, t) = 0 \wedge P(\beta, t) = 0$$